

# MAA 725, MAA 725B, MAA 725C, MAA 725H, MAA 725J, MAA 725K PŘÍSTROJOVÝ OPERAČNÍ ZESILOVAČ

MAA 725, MAA 725B, MAA 725C, MAA 725H, MAA 725J, MAA 725K ПРИВОРНЫЕ ОПЕРАЦИОННЫЕ УСИЛИТЕЛИ • MAA 725,  
MAA 725B, MAA 725C, MAA 725H, MAA 725J, MAA 725K INSTRUMENT OPERATIONAL AMPLIFIERS • MAA 725, MAA 725B,  
MAA 725C, MAA 725H, MAA 725J, MAA 725K INSTRUMENTENOPERATIONSVERSTÄRKER

## Mezní hodnoty:

|  |                          |      |                                   |                      |
|--|--------------------------|------|-----------------------------------|----------------------|
| Napájecí napětí                                    | $U_B$                    | max. | $\pm 3 \dots \pm 22$              | V                    |
| MAA 725, MAA 725B, MAA 725C                        | $U_B$                    | max. | $\pm 3 \dots \pm 15$              | V                    |
| MAA 725H, MAA 725J, MAA 725K                       | $U_D$                    | max. | MAA 725, B, C<br>MAA 725, H, J, K | $\pm 22$<br>$\pm 15$ |
| Rozdílové vstupní napětí <sup>1)</sup>             | $U_I$                    | max. | MAA 725, B, C<br>MAA 725 H, J, K  | $\pm 20$<br>$\pm 13$ |
| Vstupní napětí <sup>2)</sup>                       | $U_{1/7}$                | max. | $\pm 0,5$                         | V                    |
| Napětí mezi vývody 1 a 7 nebo 8 a 7                | $U_{8/7}$                | max. | $\pm 0,5$                         | V                    |
| Ztrátový výkon( $\vartheta_a < 75^\circ\text{C}$ ) | $P_{\text{tot}}$         | max. | 500                               | mW                   |
| Provozní teplota                                   | $\vartheta_a$            | max. | $-55 \dots +125$                  | $^\circ\text{C}$     |
| MAA 725, MAA 725H                                  | $\vartheta_a$            | max. | $-20 \dots +85$                   | $^\circ\text{C}$     |
| MAA 725B, MAA 725J                                 | $\vartheta_a$            | max. | 0 ... 70                          | $^\circ\text{C}$     |
| MAA 725C, MAA 725K                                 | $\vartheta_{\text{sig}}$ | max. | $-65 \dots +150$                  | $^\circ\text{C}$     |
| Teplota při skladování                             |                          |      |                                   |                      |

<sup>1)</sup> Platí pro impulzy o délce 5 ms s kličovacím poměrem 10 %. Při stejnosměrném provozu se tato hodnota snižuje na  $\pm 5$  V.

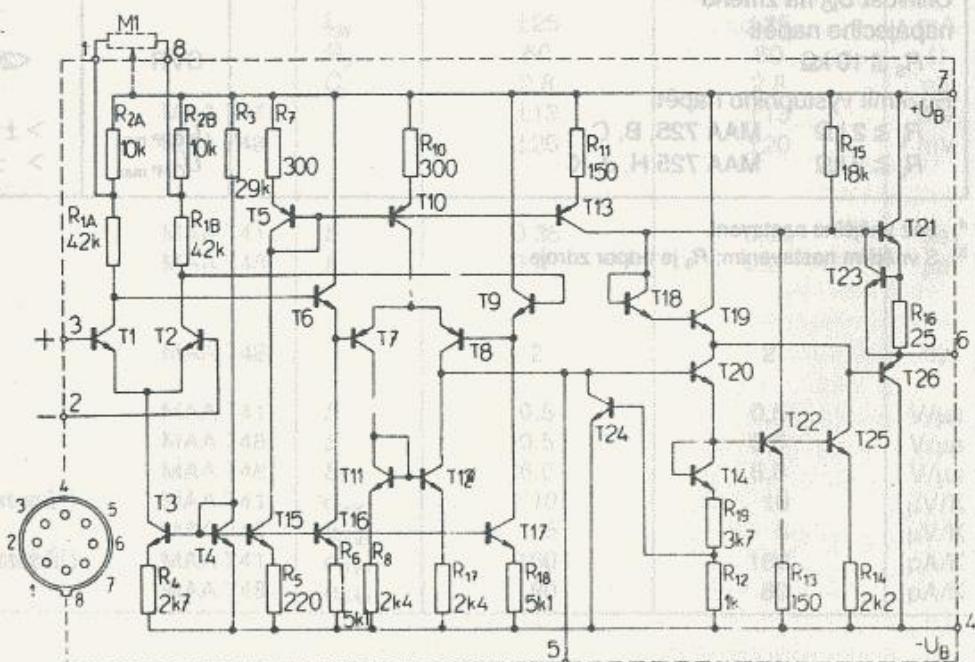
<sup>2)</sup> Pro napájecí napětí menší než  $\pm 22$  V je (absolutní) max. hodnota vstupních napětí nižší (pro  $U_B = \pm 16$  V platí  $U_I = \pm 15$  V).  
 $U_B = \pm 5$  V platí  $U_I = \pm 4$  V).

| Charakteristické údaje:   |                                  |  | MAA 725<br>MAA 725H  | MAA 725B<br>MAA 725J   | MAA 725C<br>MAA 725K   |  |
|---|----------------------------------|--|--|--|--|--|
| Platí při $\vartheta_a = 25^\circ\text{C}$<br>(není-li uvedeno jinak)   | MAA 725, B, C<br>MAA 725 H, J, K | $U_B$<br>$U_B$   | $\pm 15$<br>$\pm 12$   | $\pm 15$<br>$\pm 12$   | $\pm 15$<br>$\pm 12$   | V<br>V   |
| Napěťová nesymetrie vstupů<br>$R_s \leq 10 \text{ k}\Omega$   |                                  | $U_{IO}$   | $0,5 < 1$  | $0,5 < 1,5$  | $0,7 < 2,5$  | V  |
| Proudová nesymetrie vstupů  |                                  | $I_{IO}$   | $2 < 20$   | $3,2 < 20$   | $6,5 < 35$   | nA   |
| Vstupní klidový proud   |                                  | $I_B$  | $53 < 100$   | $68 < 100$   | $80 < 125$   | nA   |
| Vstupní šumové napětí (efektivní)<br>$\Delta f = 10 \text{ Hz} \dots 15 \text{ kHz}$ , $R_s = 10 \text{ k}\Omega$ |                                  | $U_{In\ eff}$  | 1  | 1  | 1  | $\mu\text{V}$                                    |
| Vstupní odpor<br>$f = 1 \text{ kHz}$  |                                  | $R_I$  | 1,5  | 1,5  | 1,5  | $\text{M}\Omega$                                 |
| Vstupní napěťový rozsah   | MAA 725, B, C<br>MAA 725 H, J, K | $U_I$<br>$U_I$   | $\pm 14 > \pm 13,5$<br>$\pm 11 > \pm 10,5$   | $\pm 14 < \pm 13,5$<br>$\pm 11 > \pm 10,5$   | $\pm 14 > \pm 13,5$<br>$\pm 11 > \pm 10,5$   | V<br>V   |
| Napěťové zesílení otevřené smyčky<br>$R_L \geq 2 \text{ k}\Omega$ , $U_O = \pm 10 \text{ V}$                      | MAA 725, B, C<br>MAA 725 H, J, K | $A_U$<br>$A_U$   | $3 \cdot 10^6 > 1 \cdot 10^6$<br>$3 \cdot 10^6 > 1 \cdot 10^6$                         | $3 \cdot 10^3 > 0,5 \cdot 10^6$<br>$2,4 \cdot 10^6 > 0,5 \cdot 10^6$                   | $3 \cdot 10^6 > 2,5 \cdot 10^6$<br>$2 \cdot 10^6 > 2,5 \cdot 10^6$                     |  |
| Potlačení součtového signálu<br>$R_s \leq 10 \text{ k}\Omega$   |                                  | CMR  | 120 > 110  | 120 > 100  | 120 > 94   | dB   |
| Citlivost $U_{IO}$ na změnu napájecího napětí<br>$R_s \leq 10 \text{ k}\Omega$                                    | MAA 725, B, C<br>MAA 725 H, J, K | SVR<br>SVR   | 4 < 10<br>4 < 10   | 4 < 10<br>6 < 10   | 9 < 35<br>9 < 35   | $\mu\text{V}/\text{V}$<br>$\mu\text{V}/\text{V}$ |
| Rozkmit výstupního napětí   |                                  | $U_{OPP\ max}$<br>$U_{OPP\ max}$<br>$U_{OPP\ max}$<br>$U_{OPP\ max}$ | $\pm 13,5 > \pm 12$<br>$\pm 10,5 > \pm 9$<br>$\pm 13,5 > \pm 10$<br>$\pm 10,5 > \pm 7$ | $\pm 13,5 > \pm 12$<br>$\pm 10,5 > \pm 9$<br>$\pm 13,5 > \pm 10$<br>$\pm 10,5 > \pm 7$ | $\pm 13,5 > \pm 12$<br>$\pm 10,5 > \pm 9$<br>$\pm 13,5 > \pm 10$<br>$\pm 10,5 > \pm 7$ | V<br>V<br>V<br>V                                 |
| Výstupní odpor $f = 1 \text{ kHz}$  |                                  | $R_O$<br>$P$<br>$P$  | 150<br>85 < 105<br>55 < 75   | 150<br>90 < 120<br>60 < 90   | 150<br>95 < 150<br>60 < 120  | $\Omega$<br>mW<br>mW                             |
| Příkon  | MAA 725, B, C<br>MAA 725 H, J, K |  |  |  |  |  |

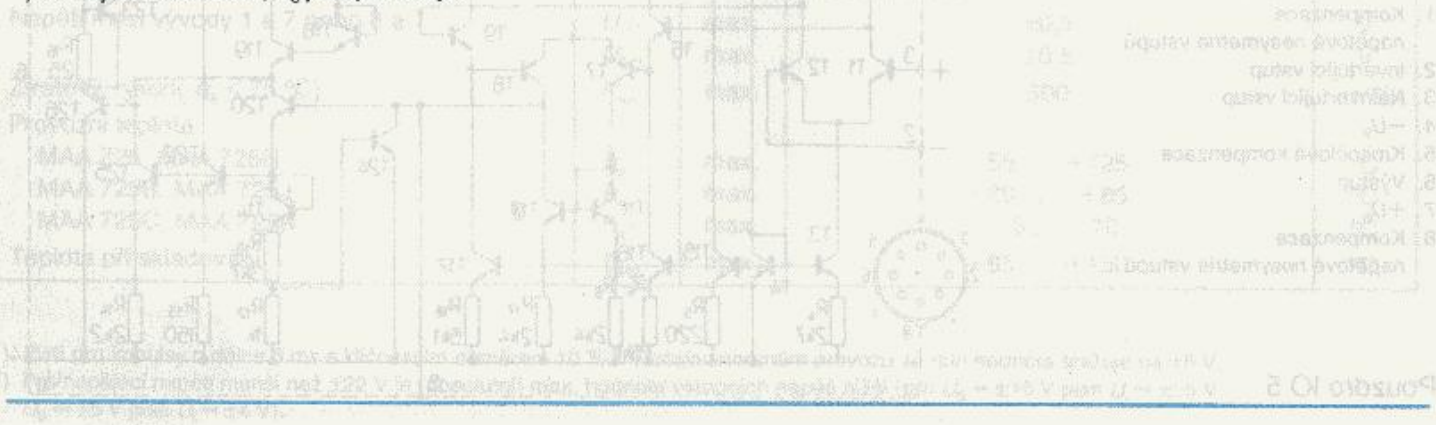
• Bez vnější kompenzace:  $R_5$  je odpor zdroje.

### Zapojení vývodů (pohled zespodu)

1. Kompenzace napěťové nesymetrie vstupů
  2. Invertující vstup
  3. Neinvertující vstup
  4.  $-U_B$
  5. Kmitočtová kompenzace
  6. Výstup
  7.  $+U_B$
  8. Kompenzace napěťové nesymetrie vstupů



| Charakteristické údaje:  | MAA725<br>MAA725H            | MAA725B<br>MAA725J | MAA725C<br>MAA725K |                    |
|--|------------------------------|--------------------|--------------------|--------------------|
| Platí při  |                              |                    |                    |                    |
| $-55 \leq \vartheta_a \leq +125^\circ\text{C}$                 | MAA 725, H, MAA 725, B, C    | $U_B$              | $\pm 15$           | $\pm 15$           |
| $-20 \leq \vartheta_a \leq +85^\circ\text{C}$                  | MAA 725 B, J MAA 725 H, J, K | $U_B$              | $\pm 12$           | $\pm 12$           |
| $0 \leq \vartheta_a \leq +70^\circ\text{C}$                    | MAA 725 C, K                 |                    |                    | V                  |
| Napěťová nesymetrie vstupů                                     |                              |                    |                    | mV                 |
| $R_S \leq 10 \text{ k}\Omega$ <sup>4)</sup>                    | $U_{IO}$                     | $< 1,5$            | $< 2,5$            | $< 3,5$            |
| Napěťový teplotní drift  |                              |                    |                    | $\mu\text{V/K}$    |
| $R_S = 50 \text{ }\Omega$ <sup>4)</sup>                        | $a_{U_{IO}}$                 | $1,2 < 5$          | $2 < 10$           | 4                  |
| $R_S = 50 \text{ }\Omega$ <sup>5)</sup>                        | $a_{U_{IO}}$                 | 0,6                | 0,6                | 0,6                |
| Proudová nesymetrie vstupů                                     |                              |                    |                    |                    |
| $\vartheta_a = +125^\circ\text{C}$                             | $I_{IO}$                     | $1,2 < 20$         | —                  | —                  |
| $\vartheta_a = +85^\circ\text{C}$                              | $I_{IO}$                     | —                  | $2,2 < 20$         | —                  |
| $\vartheta_a = +70^\circ\text{C}$                              | $I_{IO}$                     | —                  | —                  | $5 < 35$           |
| $\vartheta_a = -55^\circ\text{C}$                              | $I_{IO}$                     | $7,5 < 40$         | —                  | nA                 |
| $\vartheta_a = -20^\circ\text{C}$                              | $I_{IO}$                     | —                  | $7,5 < 40$         | nA                 |
| $\vartheta_a = 0^\circ\text{C}$                                | $I_{IO}$                     | —                  | —                  | $9,5 < 50$         |
| Proudový teplotní drift  |                              |                    |                    | pA/K               |
| Vstupní klidový proud  |                              |                    |                    |                    |
| $\vartheta_a = +125^\circ\text{C}$                             | $I_B$                        | $45 < 100$         | —                  | nA                 |
| $\vartheta_a = +85^\circ\text{C}$                              | $I_B$                        | —                  | $< 100$            | nA                 |
| $\vartheta_a = +70^\circ\text{C}$                              | $I_B$                        | —                  | —                  | $< 125$            |
| $\vartheta_a = -55^\circ\text{C}$                              | $I_B$                        | $90 < 200$         | —                  | nA                 |
| $\vartheta_a = -20^\circ\text{C}$                              | $I_B$                        | —                  | $< 200$            | nA                 |
| $\vartheta_a = 0^\circ\text{C}$                                | $I_B$                        | —                  | —                  | $< 250$            |
| Napěťové zesílení otevřené smyčky                              |                              |                    |                    |                    |
| $R_L \geq 2 \text{ k}\Omega, \vartheta_a = +125^\circ\text{C}$ | $A_U$                        | $> 1 \cdot 10^6$   | —                  | —                  |
| $R_L \geq 2 \text{ k}\Omega, \vartheta_a = +85^\circ\text{C}$  | $A_U$                        | —                  | $> 5 \cdot 10^5$   | —                  |
| $R_L \geq 2 \text{ k}\Omega, \vartheta_a = +70^\circ\text{C}$  | $A_U$                        | —                  | —                  | $> 125 \cdot 10^3$ |
| $R_L \geq 2 \text{ k}\Omega, \vartheta_a = -55^\circ\text{C}$  | $A_U$                        | $> 2,5 \cdot 10^5$ | —                  | —                  |
| $R_L \geq 2 \text{ k}\Omega, \vartheta_a = -20^\circ\text{C}$  | $A_U$                        | —                  | $> 2,5 \cdot 10^5$ | —                  |
| $R_L \geq 2 \text{ k}\Omega, \vartheta_a = 0^\circ\text{C}$    | $A_U$                        | —                  | —                  | $> 125 \cdot 10^3$ |
| Potlačení součtového signálu                                   |                              |                    |                    |                    |
| $R_S \leq 10 \text{ k}\Omega$                                  | CMR                          | $> 100$            | $> 100$            | 115                |
| Citlivost $U_{IO}$ na změnu napájecího napětí                  |                              |                    |                    | $\mu\text{V/V}$    |
| $R_S \leq 10 \text{ k}\Omega$                                  | SVR                          | $< 20$             | $< 20$             | 20                 |
| Rozkmit výstupního napětí                                      |                              |                    |                    |                    |
| $R_L \geq 2 \text{ k}\Omega$                                   | MAA 725, B, C                | $U_{OPP\ max}$     | $> \pm 10$         | $> \pm 10$         |
| $R_L \geq 2 \text{ k}\Omega$                                   | MAA 725 H, J, K              | $U_{OPP\ max}$     | $> \pm 7$          | $> \pm 7$          |

<sup>4)</sup> Bez vnějšího nastavení.<sup>5)</sup> S vnějším nastavením;  $R_S$  je odporník zdroje.

**MAA725**  
**MAA725B**  
**MAA725C**

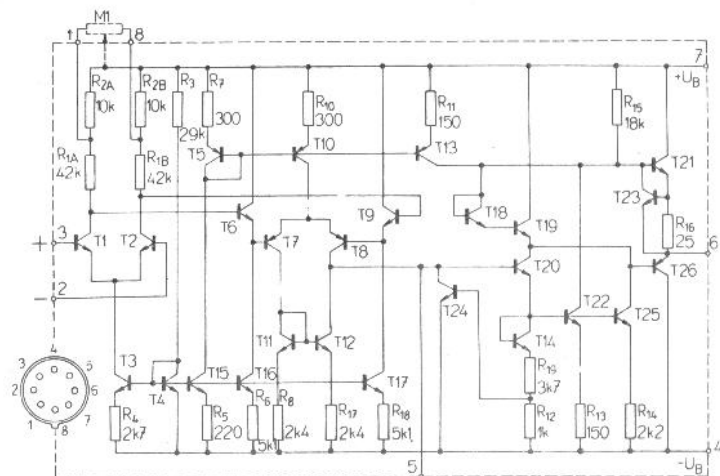
**MAA725H**  
**MAA725J**  
**MAA725K**

# LINEÁRNÍ INTEGROVANÉ OBVODY PŘISTROJOVÝ OPERAČNÍ ZESILOVAČ

## Zapojení vývodů:

pohled zespodu

1. Kompenzace napěťové nesymetrie vstupu
2. Invertující vstup
3. Neinvertující vstup
4.  $-U_B$
5. Kmitočtová kompenzace
6. Výstup
7.  $+U_B$
8. Kompenzace napěťové nesymetrie vstupu



Pouzdro IO 5

## Charakteristické údaje:

|  | MAA725<br>MAA725H | MAA725B<br>MAA725J | MAA725C<br>MAA725K |              |                 |
|--|-------------------|--------------------|--------------------|--------------|-----------------|
| Platí při  |                   |                    |                    |              |                 |
| $-55 \leq \vartheta_a \leq +125^\circ\text{C}$                         | MAA725, H         |                    |                    |              |                 |
| $-20 \leq \vartheta_a \leq +85^\circ\text{C}$                          | MAA725 B, J       |                    |                    |              |                 |
| $0 \leq \vartheta_a \leq +70^\circ\text{C}$                            | MAA725 C, K       |                    |                    |              |                 |
| Napěťová nesymetrie vstupu <sup>5)</sup> $R_s \leq 10 \text{ k}\Omega$ | $U_{IO}$          | $< 1,5$            | $< 2,5$            | $< 3,5$      | mV              |
| Napěťový teplotní drift  |                   |                    |                    |              |                 |
| $R_s = 50 \Omega$  | $\alpha_{U_{IO}}$ | $1,2 < 5$          | $2 < 10$           | $4$          | $\mu\text{V/K}$ |
| $R_s = 50 \Omega$  | $\alpha_{U_{IO}}$ | $0,6$              | $0,6$              | $0,6$        | $\mu\text{V/K}$ |
| Proudová nesymetrie vstupu   |                   |                    |                    |              |                 |
| $\vartheta_a = +125^\circ\text{C}$                                     | $I_{IO}$          | $1,2 < 20$         | —                  | —            | nA              |
| $\vartheta_a = +85^\circ\text{C}$                                      | $I_{IO}$          | —                  | $2,2 < 20$         | —            | nA              |
| $\vartheta_a = +70^\circ\text{C}$                                      | $I_{IO}$          | —                  | —                  | $5 < 35$     | nA              |
| $\vartheta_a = -55^\circ\text{C}$                                      | $I_{IO}$          | $7,5 < 40$         | —                  | —            | nA              |
| $\vartheta_a = -20^\circ\text{C}$                                      | $I_{IO}$          | —                  | $7,5 < 40$         | —            | nA              |
| $\vartheta_a = 0^\circ\text{C}$  | $I_{IO}$          | —                  | —                  | $9,5 < 50$   | nA              |
| Proudový teplotní drift  | $\alpha I_{IO}$   | $42 < 150$         | $< 300$            | 90           | pA/K            |
| Vstupní klidový proud  |                   |                    |                    |              |                 |
| $\vartheta_a = +125^\circ\text{C}$                                     | $I_{IB}$          | $45 < 100$         | —                  | —            | nA              |
| $\vartheta_a = +85^\circ\text{C}$                                      | $I_{IB}$          | —                  | $< 100$            | —            | nA              |
| $\vartheta_a = +70^\circ\text{C}$                                      | $I_{IB}$          | —                  | —                  | $< 125$      | nA              |
| $\vartheta_a = -55^\circ\text{C}$                                      | $I_{IB}$          | $90 < 200$         | —                  | —            | nA              |
| $\vartheta_a = -20^\circ\text{C}$                                      | $I_{IB}$          | —                  | $< 200$            | —            | nA              |
| $\vartheta_a = 0^\circ\text{C}$  | $I_{IB}$          | —                  | —                  | $< 250$      | nA              |
| Napěťové zesílení otevřené smyčky                                      |                   |                    |                    |              |                 |
| $R_L \geq 2 \text{ k}\Omega, \vartheta_a = +125^\circ\text{C}$         | $A_{uI}$          | $\sim 1.10^6$      | —                  | —            |                 |
| $R_L \geq 2 \text{ k}\Omega, \vartheta_a = +85^\circ\text{C}$          | $A_{uI}$          | —                  | $\sim 5.10^5$      | —            |                 |
| $R_L \geq 2 \text{ k}\Omega, \vartheta_a = +70^\circ\text{C}$          | $A_{uI}$          | —                  | —                  | $> 125.10^3$ |                 |
| $R_L \geq 2 \text{ k}\Omega, \vartheta_a = -55^\circ\text{C}$          | $A_{uI}$          | $\sim 2.5.10^5$    | —                  | —            |                 |
| $R_L \geq 2 \text{ k}\Omega, \vartheta_a = -20^\circ\text{C}$          | $A_{uI}$          | —                  | $\sim 2.5.10^5$    | —            |                 |
| $R_L \geq 2 \text{ k}\Omega, \vartheta_a = 0^\circ\text{C}$            | $A_{uI}$          | —                  | —                  | $> 125.10^3$ |                 |
| Potlačení součtového signálu   |                   |                    |                    |              |                 |
| $R_s \leq 10 \text{ k}\Omega$  | CMR               | $> 100$            | $> 100$            | 115          | dB              |
| Citlivost $U_{IO}$ na změnu napájecího napětí                          |                   |                    |                    |              |                 |
| $R_s \leq 10 \text{ k}\Omega$  | SVR               | $< 20$             | $< 20$             | 20           | $\mu\text{V/V}$ |
| Rozkmit výstupního napětí  |                   |                    |                    |              |                 |
| $R_L \geq 2 \text{ k}\Omega$   | MAA725, B, C      | $U_{OPP\ max}$     | $> \pm 10$         | $> \pm 10$   | V               |
| $R_L \geq 2 \text{ k}\Omega$   | MAA725 H, J, K    | $U_{OPP\ max}$     | $> \pm 7$          | $> \pm 7$    | V               |

<sup>5)</sup> Bez vnějšího nastavení    <sup>6)</sup> S vnějším nastavením     $R_s$  je odpor zdroje

**LINEÁRNÍ INTEGROVANÉ OBVODY  
PŘÍSTROJOVÝ OPERAČNÍ ZESILOVAČ**

**MAA725**      **MAA725H**  
**MAA725B**      **MAA725J**  
**MAA725C**      **MAA725K**

**Mezní hodnoty:**

**Napájecí napětí**

MAA725, MAA725B, MAA725C  
MAA725H, MAA725J, MAA725K

$U_B$  max.  $\pm 3 \dots \pm 22$  V  
 $U_B$  max.  $\pm 3 \dots \pm 15$  V

**Rozdílové vstupní napětí 1)**

$U_{ID}$  max. MAA725, B, C  $\pm 22$  V  
MAA725 H, J, K  $\pm 15$  V

**Vstupní napětí 2)**

$U_I$  max. MAA725, B, C  $\pm 20$  V  
MAA725 H, J, K  $\pm 13$  V

**Napětí mezi vývody 1 a 7 nebo 8 a 7**

$U_{1/7}$  max.  $\pm 0,5$  V  
 $U_{8/7}$  max.  $\pm 0,5$  V

**Ztrátový výkon ( $\vartheta_a < 75^\circ\text{C}$ )**

$P_{tot}$  max. 500 mW

**Provozní teplota**

MAA725, MAA725H  
MAA725B, MAA725J  
MAA725C, MAA725K

$\vartheta_a$  max.  $-55 \dots +125$  °C  
 $\vartheta_a$  max.  $-20 \dots +85$  °C  
 $\vartheta_a$  max.  $0 \dots +70$  °C

**Teplota při skladování**

$\vartheta_{stg}$  max.  $-65 \dots +150$  °C

1) Platí pro impulzy o délce 5 ms s klíčovacím poměrem 10 %. Při stejnosměrném provozu se tato hodnota snižuje na  $\pm 5$  V.

2) Pro napájecí napětí menší než  $\pm 22$  V je (absolutní) max. hodnota vstupních napětí nižší (pro  $U_B = \pm 16$  V platí  $U_I = \pm 15$  V,  $U_B = \pm 5$  V platí  $U_I = \pm 4$  V).

| Charakteristické údaje:   | MAA725<br>MAA725H              | MAA725B<br>MAA725J | MAA725C<br>MAA725K   |  |  |
|---|--------------------------------|--------------------|--|--|--|
| Platí při $\vartheta_a = 25^\circ\text{C}$<br>(není-li uvedeno jinak)   | MAA725, B, C<br>MAA725 H, J, K | $U_B$<br>$U_B$     | $\pm 15$<br>$\pm 12$   | $\pm 15$<br>$\pm 12$   |  |
| Napěťová nesymetrie vstupů $R_s \leq 10 \text{ k}\Omega$  |                                | $U_{IO}$           | $0,5 < 1$<br>$0,5 < 1,5$                                       | $0,7 < 2,5$ mV   |  |
| Proudová nesymetrie vstupů  |                                | $I_{IO}$           | $2 < 20$<br>$3,2 < 20$   | $6,5 < 35$ nA  |  |
| Vstupní klidový proud   |                                | $I_{IB}$           | $53 < 100$<br>$68 < 100$                                       | $80 < 125$ nA  |  |
| Vstupní šumové napětí (efektivní)<br>$\Delta f = 10 \text{ Hz} \dots 15 \text{ kHz}$ , $R_s = 10 \text{ k}\Omega$ |                                | $U_{In\ eff}$      | 1<br>1<br>1  | μV   |  |
| Vstupní odpor<br>$f = 1 \text{ kHz}$  |                                | $R_I$              | 1,5<br>1,5<br>1,5  | MΩ   |  |
| Vstupní napěťový rozsah   | MAA725, B, C<br>MAA725 H, J, K | $U_I$<br>$U_I$     | $\pm 14 > \pm 13,5$<br>$\pm 11 > \pm 10,5$                     | $\pm 14 > \pm 13,5$<br>$\pm 11 > \pm 10,5$                           |  |
| Napěťové zesílení otevřené smyčky<br>$R_L \geq 2 \text{ k}\Omega$ , $U_O = \pm 10 \text{ V}$                      | MAA725, B, C<br>MAA725 H, J, K | $A_u$<br>$A_u$     | $3 \cdot 10^6 > 1 \cdot 10^6$<br>$3 \cdot 10^6 > 1 \cdot 10^6$ | $3 \cdot 10^6 > 0,5 \cdot 10^6$<br>$2,4 \cdot 10^6 > 0,5 \cdot 10^6$ | $3 \cdot 10^6 > 2,5 \cdot 10^5$<br>$2 \cdot 10^6 > 2,5 \cdot 10^5$ |
| Potlačení součtového signálu<br>$R_s \leq 10 \text{ k}\Omega$   |                                | CMR                | 120 > 110<br>120 > 100   | 120 > 94   | dB   |
| Citlivost $U_{IO}$ na změnu napájecího napětí<br>$R_s \leq 10 \text{ k}\Omega$                                    | MAA725, B, C<br>MAA725 H, J, K | SVR<br>SVR         | 4 < 10<br>4 < 10   | 4 < 10<br>6 < 10   | 9 < 35<br>9 < 35   |
| Rozkmit výstupního napětí<br>$R_s \geq 10 \text{ k}\Omega$  | MAA725, B, C                   | $U_{OPP\ max}$     | $\pm 13,5 > \pm 12$  | $\pm 13,5 > \pm 12$  | $\pm 13,5 > \pm 12$ V  |
|   | MAA725 H, J, K                 | $U_{OPP\ max}$     | $\pm 10,5 > \pm 9$   | $\pm 10,5 > \pm 9$   | $\pm 10,5 > \pm 9$ V   |
| $R_s \geq 2 \text{ k}\Omega$  | MAA725, B, C                   | $U_{OPP\ max}$     | $\pm 13,5 > \pm 10$  | $\pm 13,5 > \pm 10$  | $\pm 13,5 > \pm 10$ V  |
| $R_s \geq 2 \text{ k}\Omega$  | MAA725 H, J, K                 | $U_{OPP\ max}$     | $\pm 10,5 > \pm 7$   | $\pm 10,5 > \pm 7$   | $\pm 10,5 > \pm 7$ V   |
| Výstupní odpor $f = 1 \text{ kHz}$  |                                | $R_O$              | 150  | 150  | Ω  |
| Příkon  | MAA725, B, C<br>MAA725 H, J, K | P                  | 85 < 105<br>55 < 75  | 90 < 120<br>60 < 90  | mW<br>mW   |

4) Bez vnější kompenzace;  $R_s$  je odpor zdroje.